

防衛大学校 ○鎌田 修一・長野 広行
 ツ 山内 邦彦・山口 晴幸

1. はじめに

高有機質土である泥炭のせん断特性に関する研究は、国内外を通じて極めて少なく、解明しなければならない問題が数多く残されている。その力学特性は有機物の量あるいは質の与える影響が大きいと考えられる。本文ではこのうちの有機物の質を考慮し、泥炭、おがくず、砂供試体について単純せん断試験を実施し、泥炭を構成している植物性有機物の圧縮性がせん断特性に与える影響についておがくずと砂供試体の結果の比較から考察したものである。

2. 試料と実験

大宮市郊外の泥炭地から採取した不搅乱試料を用いた。物理的特性は文献³参照。地表面上に水平方向に、直径75mmのシンウォール・キューブを貫入して採取した試料を直径75mm、高さ30mmの円柱供試体に成形し、単純せん断試験機にセットした。また、木工機械の切りくずを利用して、粒径範囲0.074mm～0.85mmのおがくずと水とほぼ粒径分布の等しい豊浦砂を用いた。おがくずの物理的特性は文献³参照。砂の物理的特性及び各資料の粒径加積曲線を表1、図1に示す。各試料とも30～150kPa範囲の垂直応力(σ_h)で正規圧密した供試体と、 $\sigma_h=150$ から30kPaと10kPaまで吸水除荷した過圧密供試体(過圧密比: O.C.R = 5と15)について、それぞれ排水せん断試験を実施した。なお、砂供試体は超ゆるぎめに作製した。

B. 実験結果と考察

i) 応力へひずみ特性

各試料の水平せん断応力 τ_h とせん断ひずみ γ_h の関係を図2, 3, 4に示す。ひずみの試料も正規圧密供試体($O.C.R = 1$, $\sigma_h=30\sim150kPa$)における τ_h ～ γ_h 曲線は垂直応力 σ_h に比例する傾向を示している。図2, 3より泥炭とおがくずを比較すると、正規圧密と過圧密供試体のひずみおがくずの方が大きいせん断応力を發揮している。一方、図2, 4より泥炭と砂では、過圧密供試体に関しては、泥炭は砂に比べて大きいせん断応力を発揮するが、正規圧密供試体に関しては、ほぼ類似している。又砂はせん断ひずみの小さい時より最大せん断応力が現われるが、泥炭に関しては、おがくずと同様せん断ひずみが、いずれも60%前後で現われていることがわかる。これは泥炭のような纖維性有機物のからみありや構成粒子の圧縮性の

Table 1

Sample	Specific gravity	Particle size d(mm)	Void ratio	
			e_{max}	e_{min}
Sand	2.638	0.074 $< d < 0.297$	0.984	0.538

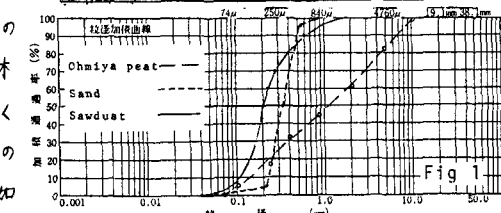


Fig. 1

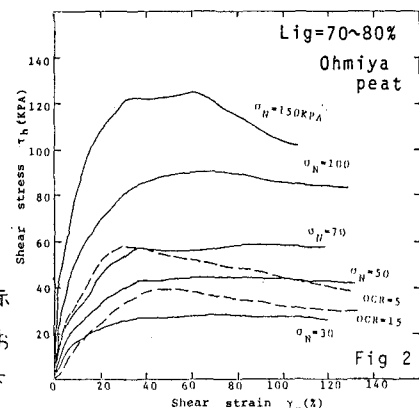


Fig. 2

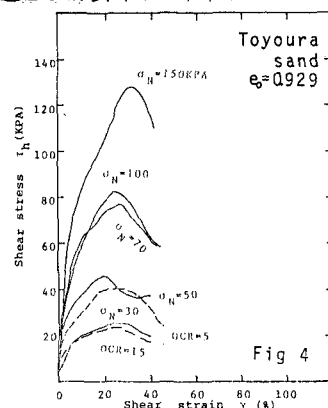


Fig. 4

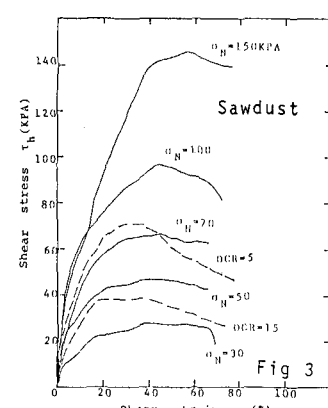


Fig. 3

相違によるものと考えられる。概して各試料間のせん断強さの大小関係は砂より泥炭くわがくずの順であった。図2,3,4で示した τ_h ～ γ_y 曲線で水平せん断応力 σ_N の最大値 σ_{Nmax} を γ_y との関係でプロットしたのが図5である。いずれの試料においても $\sigma_N = 30 \sim 150$ KPaの正規圧密供試体における τ_{hmax} ～ γ_y 関係は直線近似でき、 τ_{hmax} と γ_y との間に比例的関係が存在している。

iii) ダイレイタシニ-特性 図6,7,8は各試料についてこのダイレイタシニ-挙動を示したもので、せん断ひずみ γ_y に伴う垂直ひずみ γ_z をプロットしたものである。図6,7より泥炭、わがくずの正規圧密供試体($OCR=1$)は、 $\gamma_y > 0$ すなわちせん断中に体積収縮する傾向を示し、過圧密供試体($OCR=5, 15$)ではせん断中に膨張し、 $\gamma_y < 0$ となっている。又正規圧密供試体のダイレイタシニー曲線は、ほぼ直線的傾向を示し、しかも多少ばらつきはあるが、 γ_y の大小順に推移する傾向が認められないので、各供試体におけるダイレイタシニ-特性は圧密圧 σ_N に依存しないと考えることができる。図8より、砂はせん断中泥炭、わがくずに比べ正規圧密と過圧密供試体ともに体積変化量は小さく、過圧密供試体($OCR=15$)に関しては、せん断初期に体積収縮、その後体積膨張を示し泥炭、わがくずとは大きく違っている。負のダイレイタシニ-量は概して、砂くわがくずく泥炭の順で大きくなっている。形状寸法が大きくなり縮性に富んだ構成粒子を含有しているほど体積収縮に富んだダイレイタシニー挙動を呈するものと考えられる。次に各試料の垂直ひずみ γ_z ～応力比 τ_h/σ_N 関係を示したもののが図9,10,11である。図9,10,11より泥炭、わがくずの正規圧密供試体に関しては、一つの直線で正規化されるが、砂ではそのような傾向が認められない。一方、過圧密供試体では、泥炭とわがくずの挙動はほぼ類似しており、特に $OCR=15$ の供試体では応力比がピークに達した後、急激な膨張を示している。又応力比 (τ_h/σ_N) が最大の時の垂直ひずみは-1.5%前後ではほぼ一致している。砂のダイレイタシニー挙動を示し、 $OCR=5$ の供試体では体積収縮を示し、 $OCR=15$ の供試体は、応力比 (τ_h/σ_N) がピークに達した後、体積膨張を示している。

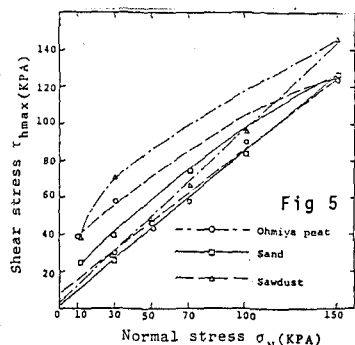


Fig 5

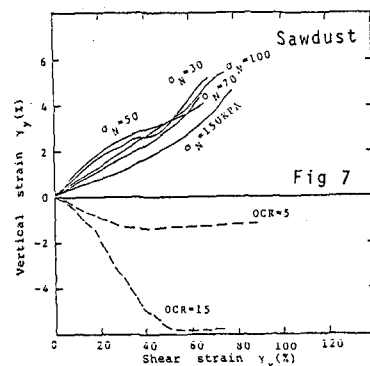


Fig 7

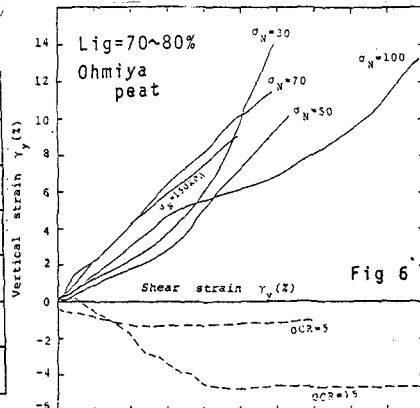


Fig 6

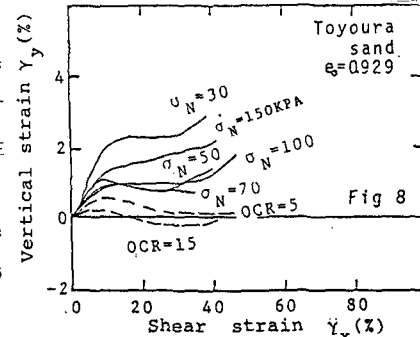


Fig 8

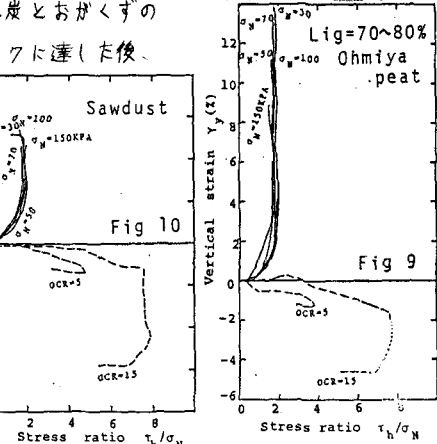


Fig 9

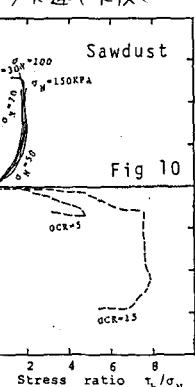


Fig 10

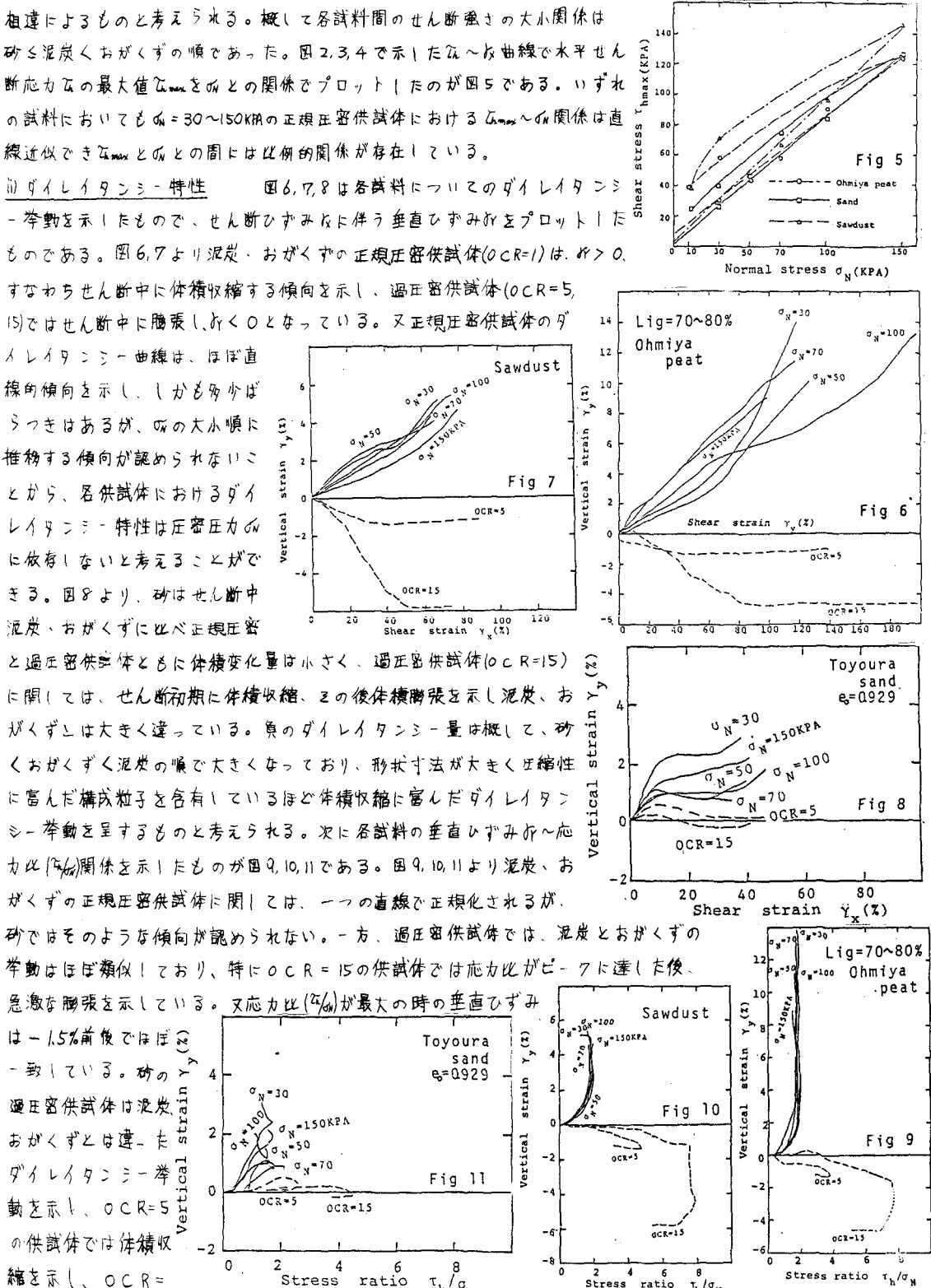


Fig 11

(参考文献) 1)山内ら(1986) 土木学会第3回技術研究発表会投稿 2)長野ら(1986) 土木学会第3回技術研究発表会投稿